



Gorgan University of Agricultural
Sciences and Natural Resources

(OPEN ACCESS)

Evaluation of relationships between some developmental and biochemical traits of soybean under salt stress by canonical correlation analysis and ideal genotype selection index at seedling stage

Bahram Masoudi*

Corresponding Author, Assistant Prof., Dept. of Seed and Plant Improvement Research, Seed and Plant Improvement Institute, Agricultural Research Education and Extension Organization, Karaj, Iran. E-mail: bmasoudi@gmail.com

Article Info	ABSTRACT
Article type: Full Length Research Paper	Background and Objectives: Soybean, like other legumes, is in the group of plants sensitive to salinity, and considering that, like other crops, it faces a decrease in yield under salinity stress conditions, therefore, it is important to discover the mechanisms that control the response of soybean to salinity and to select cultivars that do not face a decrease in yield under salinity conditions, from the aspect of agricultural and economic productivity. This study aimed to determine the relationships between traits related to seedling growth and biochemical traits and identify soybean genotypes that are tolerant to salt stress.
Article history: Received: 07.01.2024 Revised: 08.24.2024 Accepted: 09.15.2024	
Keywords: Canonical correlation analysis, Hydroponics, Salinity stress, Selection index of ideal genotypes, Soybean	Materials and Methods: Two separate randomized complete block designs, one for the control treatment with zero salinity and the other for the salinity treatment with 150 mM sodium chloride, were used to evaluate 30 soybean genotypes under hydroponic culture under greenhouse conditions at the seed and plant improvement institute, Karaj, Iran, in 2016. In this study, the following traits related to seedling growth and biochemical traits were investigated: leaf area index, stem height, root length, fresh and dry weight of both shoots and roots, chlorophyll content, salt injury index, the amount of sodium and potassium in shoots and roots, the ratio of potassium to sodium in shoots and roots, and the transfer ratio of sodium and potassium from roots to shoots.
	Results: AMMI variance analyses showed that genotype, environment (salinity treatments), and their interactions significantly affected soybean shoot weight changes. The results showed that the effect of the environment on the shoot fresh weight was high. The changes in traits under stress conditions with normal conditions showed that we observed a decrease in most traits, except for the salt injury index, amount of sodium and potassium in shoots, amount of sodium in roots, and the transfer ratio of sodium and potassium from roots to shoots. Fresh and dry weight of shoots in both conditions had a positive and significant correlation with shoot height, root length, leaf area, fresh and dry weight of roots, and potassium to sodium ratio of shoots under stress conditions, and they also had a significant negative correlation with salt injury index and root sodium content under stress conditions. Canonical correlation analysis under salt stress conditions for the set of traits related to seedling growth in contrast to the set of biochemical traits led to the creation of a significant

non-correlated variable, the first pair of variables were called "shoots characteristics" and "amount of sodium accumulation in shoots and the salt injury index" respectively. To select the best genotypes using all the examined traits under stress conditions, the selection index of ideal genotypes was used. Based on the SIIG index, the genotypes Lee, Vernal, LYON, I504, Crawford, and Douglas, which had the highest SIIG value, were among the genotypes that were tolerant to salinity.

Conclusion: When separating genotypes into tolerant and sensitive categories, both the canonical correlation analysis and ideal genotype selection index methods were very similar. Based on these traits, the genotypes were divided into tolerant and sensitive groups. Except for the chlorophyll content trait, the reactions of the remaining traits in the tolerant and sensitive genotypes were the same. The results showed that soybean genotypes tolerant to salinity have higher seedling height, leaf area, and shoot weight; on the other hand, they often have a lower salinity injury index and lower sodium content in the shoot.

Cite this article: Masoudi, Bahram. 2025. Evaluation of relationships between some developmental and biochemical traits of soybean under salt stress by canonical correlation analysis and ideal genotype selection index at seedling stage. *Journal of Plant Production Research*, 32 (1), 39-61.



© The Author(s).

DOI: 10.22069/jopp.2024.22129.3112

Publisher: Gorgan University of Agricultural Sciences and Natural Resources

ارزیابی روابط بین برخی از صفات رشدی و زیست شیمیایی سویا تحت نش شوری به وسیله تجزیه همبستگی کانونیک و شاخص انتخاب ژنوتیپ ایده‌آل در مرحله گیاهچه‌ای

بهرام مسعودی*

نویسنده مسئول، استادیار مؤسسه تحقیقات اصلاح و تهیه نهال و بذر، سازمان تحقیقات، آموزش و ترویج کشاورزی، کرج، ایران.
رایانامه: bmasoudi@gmail.com

اطلاعات مقاله	چکیده
نوع مقاله:	مقاله کامل علمی- پژوهشی
تاریخ دریافت:	۱۴۰۳/۰۴/۱۱
تاریخ ویرایش:	۱۴۰۳/۰۶/۰۳
تاریخ پذیرش:	۱۴۰۳/۰۶/۲۵

مواد و روش‌ها: دو طرح بلوك کامل تصادفي جداگانه يکي برای تيمار شاهد با شوری صفر و دیگري برای تيمار شوری با ۱۵۰ ميلی مولار كلرید سدیم، برای ارزیابی ۳۰ ژنوتیپ سویا به صورت كشت هیدروپونیک در شرایط گلخانه‌ای در مؤسسه اصلاح و تهیه نهال و بذر کرج در سال ۱۳۹۶ استفاده شد. در این مطالعه صفات مرتبط با رشد گیاهچه و صفات زیست از جمله شاخص سطح برگ، ارتفاع ساقه، طول ریشه، وزن تر و خشک هر دو اندام هوایی و ریشه، میزان کلروفیل (SPAD value)، شاخص صدمه شوری (Salt injury index)، میزان سدیم و پتانسیم در اندام هوایی و ریشه، نسبت پتانسیم به سدیم اندام هوایی و ریشه، و نسبت جابه‌جایی سدیم و پتانسیم از ریشه به اندام هوایی مورد بررسی قرار گرفت.

واژه‌های کلیدی:
تجزیه همبستگی متعارف،
تش شوری،
سویا،
شاخص انتخاب ژنوتیپ
مطلوب،
هیدروپونیک

یافته‌ها: تجزیه واریانس امی نشان داد که ژنوتیپ، محیط (تیمارهای شوری) و برهمنکش‌های آنها اثر معنی‌داری بر تغییرات وزن تر اندام هوایی سویا داشتند. صفات وزن خشک و تر اندام هوایی در هر دو شرایط دارای همبستگی مثبت و معنی‌دار با صفات ارتفاع اندام هوایی، طول

ریشه، سطح برگ، وزن خشک و تر ریشه و با نسبت پتاویم به سدیم اندام هوایی در شرایط تنفس بودند و همچنین در شرایط تنفس دارای همبستگی منفی و معنی دار با شاخص صدمه شوری و محتوای سدیم ریشه بودند. تجزیه همبستگی های متعارف در شرایط تنفس شوری برای مجموعه صفات مرتبط با رشد گیاهچه ها در مقابل مجموعه صفات زیست شیمیایی به ایجاد یک متغیر غیر همبسته معنی دار انجامید. به منظور انتخاب بهترین ژنوتیپ ها با استفاده از تمام صفات مورد بررسی در شرایط تنفس از شاخص انتخاب ژنوتیپ ایده آل (SIIG) استفاده شد. بر اساس شاخص SIIG، ژنوتیپ های Lee Vernal و Crawford d504 LYON جزء Douglas متحمل ژنوتیپ های شوری بودند.

نتیجه گیری: در تفکیک ژنوتیپ ها به دودسته متحمل و حساس هر دو روش تجزیه همبستگی کانونیک و روش شاخص انتخاب ژنوتیپ مطلوب مشابه فراوانی باهم داشتند. به جز صفت محتوای کلروفیل در بقیه صفات واکنش دودسته ژنوتیپ های متحمل و حساس یکسان بود. نتایج نشان داد که ژنوتیپ های سویا متحمل به شوری دارای ارتفاع گیاهچه بلندتر، سطح برگ بیشتر و وزن تر اندام هوایی بیشتری بوده و از طرف دیگر اغلب دارای شاخص صدمه شوری کمتر و میزان سدیم در اندام هوایی کمتری می باشند.

استناد: مسعودی، بهرام (۱۴۰۴). ارزیابی روابط بین برخی از صفات رشدی و زیست شیمیایی سویا تحت تنفس شوری به وسیله تجزیه همبستگی کانونیک و شاخص انتخاب ژنوتیپ ایده آل در مرحله گیاهچه ای. نشریه پژوهش های تولید گیاهی، ۳۲(۱)، ۶۱-۳۹.

DOI: 10.22069/jopp.2024.22129.3112



© نویسندها

ناشر: دانشگاه علوم کشاورزی و منابع طبیعی گرگان

اهمیت است؛ بنابراین، کشف سازوکارهای کنترل‌کننده پاسخ سویا به شوری به منظور بهبود عملکرد دانه سویا با تحمل به شوری بسیار مهم است.

مشکلات متعددی غربالگری ژنتیک‌های متتحمل به شوری را در مزرعه با مشکل مواجه می‌کند. در فواصل نزدیک چند متری و در تاریخ‌های مختلف، سطوح شوری سطح مزرعه می‌تواند به طور قابل توجهی با یکدیگر متفاوت باشد، حتی اگر در ابتدا در یک سطح تنظیم شده باشند (۱۰). حفظ سطوح مختلف شوری در محیط خاک در مراحل مختلف در تیمارهای آزمایشی هم نیازمند زمان و هم تلاش است و عملاً غیرممکن است. کشت هیدروپونیک با توانایی رساندن سریع غلاظت شوری به مقدار موردنظر، به عنوان روشی پیشرو در ارزیابی‌های شوری تبدیل شده است (۱۱). در سویا مرحله گیاهچه نسبت به مرحله جوانهزنی (۱۲) و گیاه کامل (۱۳) حساس‌ترین مرحله به تنش شوری است. مطالعات متعددی برای شناسایی تحمل به شوری در مرحله گیاهچه در سویا انجام شده است (۱۴ و ۱۵). مطالعه تنوع مرحله خاصی از رشد در پاسخ به استرس به شناسایی اجزای توارشی تحمل به شوری کمک خواهد کرد (۱۶). رابطه بین میزان رشد اولیه و عملکرد در سویا توسط پژوهش‌گران متعددی مورد تأکید قرار گرفته است (۱۷ و ۱۸). یافته‌های تحقیقاتی همبستگی معنی‌داری را در شرایط شوری بین مرحله جوانهزنی و عملکرد زیستی نشان می‌دهد و نحوه واکنش گیاهچه‌ها به شوری به میزان بالایی واکنش گیاه کامل را به شوری پیش‌بینی می‌کند (۱۹). تحمل به شوری می‌تواند توسط اندازه‌گیری عملکرد، محتوای کلروفیل برگ، وزن خشک‌ریشه و کانوبی، سطح و تعداد برگ‌های سبز، تعداد برگ‌های پیش‌شده بررسی گردد (۲۰). در بیشتر موارد، ویژگی‌های

مقدمه

سویا (*Glycine max*) یک محصول مهم اقتصادی برای خوراک دام، مصرف انسانی و مصارف صنعتی و همچنین به عنوان منبعی برای تولید بیو دیزل است. سویا مانند سایر بقولات در گروه گیاهان حساس به شوری است و مانند سایر گیاهان زراعی تحت شرایط تنش شوری با کاهش عملکرد مواجه می‌شود (۱ و ۲). شوری خاک در حال تبدیل شدن به یک مشکل فزاینده است که با کشاورزی در بسیاری از کشورها مرتبط است و حدود ۲۰ درصد از زمین‌های قابل کشت آبی (قریباً ۶۰ میلیون هکتار) در سراسر جهان را تحت تأثیر قرار می‌دهد (۳). طبق گزارش فائو شوری خاک هر سال حدود $\frac{1}{5}$ تا $\frac{1}{3}$ میلیون هکتار از زمین‌های کشاورزی را از تولید خارج می‌کند و پتانسیل تولید را در ۲۰ تا ۴۶ میلیون هکتار کاهش می‌دهد (۳). شوری اثر نامطلوبی بر رشد گیاه دارد زیرا باعث ایجاد تنش اسمزی، اختلال در فرآیندهای متابولیکی و جذب عناصر غذایی ماکرو و میکرو می‌شود (۴). این اثرات نامطلوب شوری بر جوانهزنی بذر، رشد گیاه (۵ و ۶) و تشکیل گره تأثیر می‌گذارد (۷). تحمل شوری در گیاهان یکسان نیست و در یک گیاه نیز مراحل مختلف رشد و نمو ممکن است حساسیت‌های متفاوتی نسبت به تنش شوری نشان دهد (۸). چندین گونه از محصولات می‌توانند تدبیر سازگاری مختلفی را برای افزایش توانایی‌های خود برای حفظ رشد و بهره‌وری در خاک‌های شور ایجاد کنند. درنتیجه انتخاب ارقامی که در شرایط شوری با کاهش عملکرد مواجه نشوند از اهمیت بهسزایی برخوردار است (۹). برای مقابله با شوری خاک، علاوه بر اصلاح خاک، رویکردهای مورداستفاده در اصلاح ژنتیکی ژنتیک‌های سویا برای افزایش بهره‌وری آنها در شرایط شور نیز دارای

(۲۷). معیار بهینه‌سازی، به حداقل رساندن مقدار تغییرات چند متغیره نیست، بلکه حداقل کردن ارتباط بین دو گروه از متغیرها است. روش تجزیه همبستگی کانوئیک می‌تواند روابط پیچیده بین گروه‌های بزرگی از متغیرها را توصیف کند. با این حال باید در تفسیر آن دقت کرد. تحلیل همبستگی متعارف یک شاخص رابطه بین علت و معلول نیست (۲۸). این روش به طور گسترده‌ای برای ارزیابی ارتباط دو مجموعه متفاوت از متغیرها استفاده می‌شود، حتی زمانی که خود متغیرها در هر مجموعه همبستگی دارند (۲۹). همبستگی‌های متعارف را می‌توان برای تخمین ارتباط بین دو گروه مختلف از صفات، به عنوان مثال بین صفات فیزیولوژیکی و زراعی و یا اجزای اولیه و ثانویه تولید، صفات اندام هوایی و سیستم ریشه به کار برد (۳۰). به عنوان مثال در سویا برای بررسی روابط بین صفات زراعی با خصوصیات کیفی بذر (۳۱) یا صفات فیزیولوژیکی و آب و هوایی با اجزای عملکرد دانه (۳۲) از تجزیه همبستگی متعارف استفاده شد.

ارزیابی ژنوتیپ‌ها با استفاده از مجموعه‌ای از صفات، احتمال پیدا کردن ژنوتیپ‌های مطلوب را افزایش می‌دهد. شاخص انتخاب ژنوتیپ مطلوب (Selection index of ideal genotypes; SIIG) یکی از روش‌های آماری چندمتغیره است که بر اساس مجموعه‌ای از صفات یا شاخص‌های مختلف، ژنوتیپ‌های مطلوب را شناسایی می‌کند (۳۳ و ۳۴).

شاخص SIIG یک مدل گزینش‌گر بوده و به منظور انتخاب ایده‌آل‌ترین ارقام و لاین‌ها از بین ژنوتیپ‌های مورد بررسی به کار می‌رود؛ به عبارت دیگر با استفاده از روش SIIG می‌توان صفات مختلف را به صورت یک شاخص واحد درآورد و انتخاب ژنوتیپ‌های برتر را مطمئن‌تر و دقیق‌تر انجام داد (۳۴، ۳۵ و ۳۶ و ۳۷).

کشاورزی ژنوتیپ‌های متحمل از همتایان حساس خود پیشی می‌کیرد. شاخص دیگری که می‌تواند در آزمایش‌های شوری استفاده شود عبارتند از میزان کلروز برگ، تجمع یون کلر و سدیم در برگ‌ها و ریشه‌ها، سطوح یون‌های سدیم و پاتسیم در بذرها و همچنین جوانه‌زنی و رشد گیاهچه سویا می‌باشد (۲۱ و ۲۲).

بحث اصلی در اندازه‌گیری صفات مختلف مرتبط با تحمل به شوری این است که چطور از تمام این اطلاعات اندازه‌گیری شده برای افزایش تحمل ژنوتیپ‌ها و شناسایی ژنوتیپ‌های متحمل استفاده نمود. تفسیر همبستگی زمانی که چندین متغیر به طور هم‌زمان در نظر گرفته می‌شود، می‌تواند دست‌وپا گیر باشد. رویکردهای متعددی در شناسایی و حل این موضوعات وجود دارد. بررسی ارتباط بین دو گروه از متغیرها را می‌توان از طریق تحلیل همبستگی متعارف انجام داد که هدف آن تعیین یک ترکیب خطی برای هر گروه از متغیرها است، زیرا این متغیرها می‌توانند همبستگی بین دو گروه را به کمترین میزان برسانند (۲۳).

تجزیه و تحلیل همبستگی متعارف یک روش برای کاهش پیچیدگی ارتباط دو مجموعه از متغیرها است (۲۴). می‌توان از آن برای تخمین حداقل همبستگی بین دو مجموعه متغیر که توسط ترکیبات خطی چندین صفت تشکیل شده‌اند استفاده نمود و همچنین امکان ارزیابی روابط متقابل بین دو مجموعه با تعداد دلخواه صفت را امکان‌پذیر می‌کند. این تجزیه و تحلیل اغلب در مطالعاتی استفاده می‌شود که شامل تعداد زیادی متغیر برای بررسی ترکیبات خطی هستند استفاده می‌شود (۲۵، ۲۶ و ۲۳). تجزیه همبستگی کانوئیک ارتباط بین دو گروه از متغیرها را با ارزیابی همبستگی بین ترکیبات خطی یک گروه از متغیرها با ترکیبات خطی گروه دوم از متغیرها کمی‌سازی می‌کند.

هدف اول این مطالعه شناسایی ارتباط معنی‌دار بین صفات مرتبط با رشد گیاه‌چه و صفات زیست‌شیمیایی سویا با استفاده از تجزیه همبستگی کانونیک و یافتن متغیرهایی است که بیشترین نقش را در این روابط دارند. این امر درک بهتری از این که کدام ویژگی‌های زیست‌شیمیایی و ریخت‌شناسی تحمل به شوری را بهبود می‌دهد، فراهم می‌کند. هم‌چنین در ادامه شناسایی ژنتیک‌های متحمل به شوری بر اساس مجموعه‌ای از صفات انجام شد.

مواد و روش‌ها

این پژوهه باهدف ارزیابی تعداد ۳۰ ژنوتیپ سویا که شامل ژنوتیپ‌های داخل کلکسیون بخش دانه‌های روغنی به همراه بعضی از ارقام تجاری بود، انجام شد. با استفاده از هیپوکلریت سدیم ۱۰ درصد، ۵۰ دانه از هر ژنوتیپ بهمدت یک دقیقه ضدغ Fonii گردید و سه بار با آب مقطر شستشو داده شد و در ادامه نمونه‌ها در ظروف پت‌ری‌دیش مجزا حاوی آب مقطر بهمدت بیست و چهار ساعت خیسانده شدند و درنهایت نمونه‌ها با استفاده از پنس روی کاغذ صافی منتقل شدند تا جوانه‌دار گردند. دو روز پس از جوانه‌زنی، بذرهای جوانه‌زده شده به محیط کشت هیدروپونیک منتقل شدند. این پژوهه از روش هیدروپونیک استفاده کرد که حاوی آب مقطر حاوی محلول غذایی هوگلن و آرنون (۴۰) بود که تمام مواد معدنی و عناصر ضروری برای رشد گیاه را فراهم می‌کرد. گنجایش جعبه‌های کشت ۲۵ لیتر بود که روی آن‌ها صفحات یونولیتی کاشت که سوراخ‌هایی به قطر ۲ سانتی‌متر روی آن تعییه شده بود و کف آن‌ها توری چسبانده شده بود، استفاده شد. برای هواهدی سیستم از پمپ هوا استفاده شد بدین شکل که یک پمپ

شاخص SIIG برگرفته از مدل Topsis یا اولویت‌بندی براساس شباهت به راه حل ایده‌آل می‌باشد که نخستین بار به عنوان یک روش تصمیم‌گیری چندمعیاره معرفی شد (۳۸). یکی از مزایای استفاده از شاخص SIIG این است که تمام صفات در نظر گرفته شده و همه ژنوتیپ‌ها در این اثرات سهم دارند (۳۳). به عبارت دیگر در این شاخص، صفات مختلف به‌طور مستقیم در انتخاب ژنوتیپ‌ها مشارکت خواهند داشت (۳۷). شاخص SIIG یک مدل انتخابی است و برای انتخاب ایده‌آل ترین ژنوتیپ‌ها استفاده می‌شود. به عبارت دیگر با استفاده از شاخص SIIG می‌توان صفات مختلف را به یک شاخص تبدیل کرد و انتخاب ژنوتیپ‌های برتر را با اطمینان و دقت بیشتری انجام داد (۳۹). یکی دیگر از ویژگی‌های شاخص SIIG ادغام صفات با واحدهای مختلف است (۳۳) و این صفات می‌توانند طبیعت منفی و مثبت داشته باشند (۳۶).

از روش SIIG می‌توان برای رتبه‌بندی و مقایسه بهتر ژنوتیپ‌های مختلف و انتخاب بهترین ژنوتیپ‌ها و هم‌چنین تعیین فاصله بین ژنوتیپ‌ها و خوشبندی SIIG آن‌ها استفاده کرد. از دیگر ویژگی‌های شاخص SIIG این است که می‌توان از آن برای صفاتی مانند صفات ریخت‌شناسی و فیزیولوژیکی نیز استفاده کرد که باعث افزایش کارایی انتخاب می‌شود. هر ژنوتیپ می‌تواند از نظر برخی شاخص‌ها یا صفات برتر باشد. با افزایش تعداد صفات یا شاخص‌ها، انتخاب ژنوتیپ مناسب دشوار می‌شود. در شاخص SIIG، همه شاخص‌ها یا صفات به یک شاخص تبدیل می‌شوند و رتبه‌بندی و شناسایی ژنوتیپ‌های برتر آسان‌تر می‌شود (۳۳ و ۳۹). شاخص SIIG امکان انتخاب ژنوتیپ‌های برتر را بر اساس صفات چندگانه، عاری از چندخطی بودن، فراهم می‌کند و نیازی به تعیین وزن ندارد.

اندازه‌گیری سطح برگ استفاده شد. به منظور اندازه‌گیری غلظت یون‌های سدیم و پتاسیم در اندام هوایی و ریشه، مرحله اولیه شامل شستشوی گیاهچه‌های برداشت شده با استفاده از آب مقطر بود و پس از جدا کردن آنها، این بخش‌ها سپس در داخل آون به مدت ۴۸ ساعت در دمای ۷۵ درجه سانتی‌گراد قرار گرفتند تا کاملاً خشک شوند. جهت اندازه‌گیری میزان سدیم و پتاسیم توسط دستگاه فلیم فتوомتر (Corning M410, U.K, 410)، مقدار ۰/۱ گرم از ریشه و اندام هوایی هر ژنتوپ توسط محلول ۰/۱ مولار اسید استیک به مدت ۴ ساعت در دمای ۹۰ درجه سانتی‌گراد تیمار گردید. براساس رابطه داده شده زیر نسبت انتقال سدیم از ریشه به اندام هوایی به دست آمد.

(۱) میزان سدیم ریشه/میزان سدیم اندام هوایی=RTSN

علاوه بر این، نسبت انتقال پتاسیم از ریشه به ساقه با استفاده از رابطه زیر محاسبه شد.

(۲) میزان پتاسیم ریشه/میزان پتاسیم اندام هوایی=RTSK

پس از تجزیه واریانس امی با استفاده از نرم‌افزار Genestat نسخه ۱۲، همبستگی بین صفات با استفاده از نرم‌افزار SPSS نسخه ۱۵ محاسبه شد، در ادامه تجزیه همبستگی‌های کانونیک با استفاده از نرم‌افزار Statgraphics نسخه ۱۸ انجام گردید و درنهایت به منظور انتخاب متحمل‌ترین ژنتوپ‌ها با استفاده از همه صفات مورد استفاده شاخص SIIG نیز با استفاده از نرم‌افزار اکسل محاسبه گردید (۴۳).

هوا داخل هر جعبه کشت قرار گرفت. در اجرای این آزمایش از دو طرح بلوك کامل تصادفی جداگانه استفاده شد یکی شامل تیمار عادی (شاهد، سوری صفر) و دیگری تیمار شوری (۱۵۰ میلی‌مولاً کلرید سدیم) (۴۱ و ۴۲)، که هر دو شامل ۳ تکرار بودند. هر ژنتوپ در هر تکرار دارای چهار گیاهچه بود که در چهار حفره جدا کشت و ارزیابی شدند. تیمار شوری ۵۰ میلی‌مولاً پنج روز پس از انتقال اعمال شد و طی سه روز به ۱۵۰ میلی‌مولاً رسانده شد. به طور منظم، به صورت هفتگی، محلول غذایی تعویض می‌شد. هر روز، تنظیمات pH انجام می‌شد و به طور مداوم در حدود ۶/۶-۶/۷ تنظیم می‌شد. گلخانه دارای محدوده دمایی ۲۰ تا ۳۰ درجه سانتی‌گراد و سطح رطوبت آن نیز بین ۶۰ تا ۷۰ درصد بود. برداشت گیاهان و اندازه‌گیری صفات ۲۰ روز پس از شروع تیمار شوری صورت گرفت (۴۲). در این پروژه ویژگی‌های مختلف از جمله ارتفاع اندام هوایی و طول ریشه، وزن تر اندام هوایی و ریشه، وزن خشک اندام هوایی و ریشه، میزان کلروفیل (SPAD value) و همچنین شاخص صدمه شوری (Salt injury index) که به صورت نمره‌دهی از ۱ تا ۵ (برگ عاری از لکه نکروز عدد ۱ را گرفت و به همین ترتیب تا عدد ۵ که در آن برگ کاملاً خشک شده بود) (۴۲) و سطح برگ موربدبررسی قرار گرفت و برای هر صفت در هر تکرار چهار گیاهچه متعلق به یک ژنتوپ به طور کامل اندازه‌گیری شد. و درنهایت با استفاده از نمونه‌های گرفته شده میزان سدیم و پتاسیم ریشه و اندام هوایی اندازه‌گیری و نسبت پتاسیم به سدیم ریشه و اندام هوایی و نسبت جابجایی سدیم و پتاسیم از ریشه به اندام هوایی محاسبه گردید. از دستگاه اندازه‌گیری سطح برگ مدل LI-COR مدل LI-3100C برای

وزن‌تر اندام هوایی به طور قابل توجهی تحت تأثیر تغییرات محیطی و به دنبال آن اثرات GEI و ژنتیک‌ها قرار می‌گیرد (جدول ۱). اثرات معنی‌دار محیط و واریانس بالای آن را می‌توان به تفاوت‌های زیاد بین محیط‌های آزمایشی (شوری صفر و شوری IPCA ۱۵۰ میلی مولار کلرید سدیم) نسبت داد. یک ۱۰۰ درصد از کل تغییرات در GEI را به خود اختصاص داد. داده‌های این پژوهش نشان داد که تأثیر محیط بر وزن‌تر اندام هوایی بسیار زیاد بود.

نتایج و بحث

تجزیه واریانس مرکب برای شناسایی اثر متقابل ژنتیک و محیط: تجزیه واریانس امی نشان داد که ژنتیک، محیط و برهمکنش‌های آن‌ها (GEIs) اثر معنی‌داری بر تغییرات وزن‌تر اندام هوایی سویا داشتند (جدول ۱). اثر اصلی ژنتیک ۲۶/۲۶ درصد از کل تغییرات را به خود اختصاص داد، در حالی‌که محیط و GEI به ترتیب ۶۳/۶ درصد و ۱۰/۱۳ درصد از تغییرات را به خود اختصاص دادند. نتایج نشان داد که

جدول ۱- نتایج تجزیه واریانس مرکب ژنتیک‌ها.

Table 1. Results of combined variance analysis of genotypes.

اثر متقابل ژنتیک در محیط % GEIs	منابع متابع % Treatments	سهم توجیه آزمون F	آماره میانگین مربعات MS	مجموع مربعات SS	درجه آزادی df	منابع تغییرات Source	کل
							Total
		*	*	0.94	167.53	179	Treatments
		**	35.76	2.68	158.28	59	Environments
26.26	**	19.11	1.43	41.57	29	Genotypes	ژنتیک
63.60	**	731.28	100.67	100.67	1	Block	بلوک
10.13	**	7.37	0.55	16.04	29	Interactions	اثر متقابل
100	**	7.37	0.55	16.04	29	IPCA1	اجزای اصلی اثر متقابل
			0.08	8.7	116	Error	خطا

ns، * و ** به ترتیب غیرمعنی‌دار و معنی‌دار در سطح احتمال پنج و یک درصد

ns, * and ** are non significant, significant at levels: 5%, 1%, respectively

همچنین در شرایط تنش دارای همبستگی منفی و معنی‌دار با شاخص صدمه شوری و محتوای سدیم ریشه بودند. در پژوهشی همبستگی بین شاخص صدمه شوری با بیوماس گیاهچه منفی و معنی‌دار و همچنین همبستگی وزن‌تر و خشک اندام هوایی، ارتفاع اندام هوایی، طول ریشه و شاخص سطح برگ

همبستگی ساده بین صفات: نتایج همبستگی ساده بین صفات نشان داد که وزن خشک و تر اندام هوایی در هر دو شرایط دارای همبستگی مثبت و معنی‌دار با صفات ارتفاع اندام هوایی، طول ریشه، سطح برگ، وزن خشک و تر ریشه و با نسبت پتانسیم به سدیم اندام هوایی در شرایط تنش بودند (جدول ۲) و

وزن‌تر و خشک اندام هوایی، شاخص سطح برگ و وزن خشک‌ریشه داشت و محتوای پتاسیم در ریشه نیز همبستگی معنی‌داری با صفات نامپرده نداشت، این نتایج پیشنهاد می‌کند که سازوکارهای کنترل شوری در اندام هوایی و ریشه متفاوت از یکدیگر می‌باشدند (۴۵). شاخص صدمه شوری دارای همبستگی منفی با همه صفات به جز میزان سدیم در اندام هوایی و ریشه بود. محتوای کلروفیل در برگ دارای همبستگی مثبت و معنی‌دار با نسبت جابجایی پتاسیم از ریشه به اندام هوایی و همبستگی منفی با نسبت جابجایی سدیم از ریشه به اندام هوایی بود.

همبستگی کانونیک: تجزیه همبستگی‌های متعارف در شرایط تنش شوری برای مجموعه صفات مرتبط با رشد گیاهچه‌ها در مقابل مجموعه صفات زیست‌شیمیایی به ایجاد یک متغیر غیرهمبسته معنی‌دار انجامید (جدول ۳). اگرچه تعداد ضرایب جفت‌های متعارف با تعداد صفات کوچک‌ترین گروه برابر است، اما درمجموع فقط یک تابع متعارف اول قابل اعتماد می‌باشد که در تفسیر نتایج مورداستفاده قرار گرفت. رابطه بین متغیرهای اصلی و متغیرهای متعارف با ضرایب همبستگی بین متغیرهای متعارف، که معمولاً ضرایب ساختار نامیده می‌شوند، ارزیابی می‌شود (۲۷ و ۲۸). اولین جفت متغیرها با ضریب همبستگی ۰/۸۹ به ترتیب متغیرهای "خصوصیات اندام هوایی" و "میزان تجمع سدیم در اندام هوایی و شاخص صدمه شوری" نامیده شدند. بالا بودن این ضریب همبستگی نشان‌دهنده درجه بالایی از ارتباط بین متغیرهای ریخت‌شناسی با صفات زیست‌شیمیایی بود. این متغیر ۷۰ درصد از تغییرپذیری بین متغیرها را توجیه می‌کرد. هرچه ضریب صفت قرار گرفته در یک گروه بالاتر باشد نشان‌دهنده اهمیت این صفت درنتیجه

با محتوای کلروفیل برگ مثبت اعلام شده است (۴۶). مطالعه دیگری همبستگی بین میزان کلروفیل با وزن خشک اندام هوایی و وزن کل گیاه را مثبت و همبستگی میزان پتاسیم اندام هوایی، میزان سدیم ریشه و نسبت جابجایی پتاسیم از ریشه به اندام هوایی با میزان کلروفیل را مثبت و معنی‌دار ذکر کرده است (۴۵). همبستگی بین شاخص صدمه شوری و محتوای سدیم اندام هوایی در شرایط تنش شوری معنی‌دار نبود که این بیانگر این مطلب می‌باشد که بعضی از ژنتیپ‌ها با این که تجمع بالایی از سدیم در اندام هوایی خود دارند اما علائم ظاهری کمی از سمیت یون سدیم را در اندام هوایی نشان می‌دهند و این بیانگر بالا بودن تحمل بافتی این ژنتیپ‌ها می‌باشد (۴۶). همبستگی منفی و ضعیفی بین محتوای سدیم اندام هوایی با وزن‌تر و خشک اندام هوایی و سطح برگ مشاهده شد که نشان‌دهنده اهمیت این یون در تحمل به شوری می‌باشد. هر چند نسبت پتاسیم به سدیم در اندام هوایی دارای همبستگی مثبتی با وزن‌تر و خشک اندام هوایی و شاخص سطح برگ بود و همبستگی منفی و ضعیفی با شاخص صدمه شوری داشت، این مطلب پیشنهاددهنده این نکته می‌باشد که ژنتیپ‌های با عملکرد و زیست‌توده بالاتر در شرایط تنش شوری لزوماً آن‌هایی نیستند که خارج‌کننده یون سدیم بهتری هستند (۴۶) و بنابراین نسبت پتاسیم به سدیم در اندام هوایی ممکن است پیشرفت تحمل به شوری در مرحله گیاهچه را تسهیل کند. محتوای سدیم و پتاسیم در اندام هوایی همبستگی‌های غیرمعنی‌دار و ضعیفی با سایر صفات مانند وزن‌تر و خشک، شاخص سطح برگ و ارتفاع اندام هوایی و طول ریشه داشتند این در حالی بود که محتوای سدیم در ریشه همبستگی منفی با صفات

روش امکان پذیر شد، زیرا آن‌ها برایند کیفی از صفات زیست‌شیمیایی می‌باشند. در مطالعه‌ای با استفاده از تجزیه همبستگی کانونیک ۵۸ ژنوتیپ ذرت از لحاظ صفات فنولوژیکی، ریخت‌شناسی، عملکردی و صفات تغذیه‌ای و کیفیت انرژی دانه موربدبررسی قرار گرفتند و تأیید شد که صفات فنولوژیکی، موفولوژیکی و عملکردی را می‌توان برای انتخاب غیرمستقیم به عنوان شاخصی از افزایش کیفیت انرژی و تغذیه‌ای در دانه‌های ذرت استفاده کرد (۴۷). شکل ۱ موقعیت ژنوتیپ‌های موربدبررسی را در نمودار متغیرهای متعارف اول نشان می‌دهند. کاربرد این شکل در گزینش ژنوتیپ‌ها برای چند صفت به‌طور همزمان است. به عنوان مثال اگر پژوهش‌گری بخواهد به دنبال ژنوتیپی باشد که دارای شاخص سطح برگ بالا، وزن‌تر اندام هوایی بالا و ارتفاع اندام هوایی بالا باشد و از طرف دیگر دارای شاخص صدمه سوری پایین و مقدار سدیم در اندام هوایی پایین نیز باشد می‌تواند به ترتیب ژنوتیپ‌های ۱، ۱۱، ۱۳، ۴ و ۲۵ را انتخاب نماید. ژنوتیپ‌های نامبرده در گروه ژنوتیپ‌های متحمل به سوری قرار می‌گیرند. از طرف دیگر ژنوتیپ‌های شماره ۱۶، ۱۰، ۱۸، ۲۹ و ۲۰ با توجه به داشتن بالاترین مقدار سدیم در اندام هوایی و بالا بودن شاخص صدمه سوری در آن‌ها و از طرف دیگر داشتن شاخص سطح برگ پایین به همراه وزن‌تر پایین اندام هوایی و ارتفاع کم اندام هوایی در گروه ژنوتیپ‌های حساس به سوری دسته‌بندی می‌گردد.

گرفتن از آن متغیر کانونیک می‌باشد (۴۶). در اولین جفت متغیرهای کانونیک برای صفات مرتبط با رشد گیاهچه، صفات شاخص سطح برگ، وزن‌تر اندام هوایی و ارتفاع اندام هوایی بالاترین ضرایب هم علامت منفی را داشتند و در دسته صفات مرتبط با خصوصیات زیست‌شیمیایی، صفات شاخص صدمه سوری و مقدار سدیم اندام هوایی بالاترین ضرایب هم علامت مثبت را دارا بود؛ بنابراین اولین جفت از متغیرهای کانونیک نشان داد گیاهان سویاً که دارای بیشترین سطح برگ، وزن‌تر اندام هوایی و ارتفاع اندام هوایی در شرایط تنفس سوری هستند به‌طور معنی‌داری شاخص صدمه سوری و محتوای سدیم کمتری در اندام هوایی خود داشته‌اند. بنابراین در مرحله گیاهچه برای داشتن گیاهانی که صدمه سوری کمتری دیده باشند و تجمع سدیم در اندام هوایی آن‌ها پایین‌تر باشد باید ژنوتیپ‌هایی با شاخص سطح برگ بالاتر، وزن‌تر اندام هوایی بالاتر و ارتفاع اندام هوایی بیش‌تر انتخاب شوند. متغیرهای U1 در اولین جفت متغیرهای کانونیک با تمام متغیرهای مرتبط با خصوصیات شیمیایی همبستگی مثبت داشتند به‌جز مقدار پتاسیم در اندام هوایی. متغیر کانونیک U1 همبستگی زیادی با شاخص سطح برگ و وزن‌تر اندام هوایی وجود داشت. همچنین متغیر کانونیک V1 همبستگی زیادی با میزان سدیم اندام هوایی و شاخص صدمه سوری داشت. بنابراین شناسایی صفات مرتبط با رشد گیاه (ارتفاع اندام هوایی، وزن‌تر اندام هوایی و شاخص سطح برگ) که نویددهنده برای بهبود تحمل به سوری در سویا باشد با این

جدول ٢. جدول همبستگی صفات مختلف (بلا شرایط نرم و پائون شرایط تنشی).
Table 2. Correlation coefficient of different traits (above is normal condition and below is stress condition).

RTSK	RTSN	RKN	SKN	RKC	RNC	SKC	SNC	RDW	SDW	LA	SII	RFW	RL	SFW	CHL	SH	
0.22	-0.11	0.04	0.29	0.10	-0.09	0.19	-0.21	0.56**	0.68**	0.59**	-0.49**	0.52**	0.21	0.75**	-0.10	(SH) ارتفاع آندام هوایی	
0.20	0.14	0.15	0.18	0.14	-0.20	0.21	-0.05	0.42*	0.39*	0.33	-0.39	0.46*	0.32	0.33	0.52**	محضای کاروفل (CHL)	
0.07	-0.08	0.09	0.24	0.27	-0.02	0.22	-0.10	0.85**	0.90**	0.87**	-0.52*	0.82**	0.49**	0.15	0.76**	وزن-تر آندام هوایی (SFW)	
-0.23	0.26	0.05	-0.25	0.02	-0.11	-0.12	0.26	0.66**	0.40*	0.42*	-0.26	0.67**	0.51**	0.28	0.37**	طول رشته (RL)	
-0.03	-0.03	-0.01	0.10	0.04	-0.05	0.01	-0.08	0.93**	0.80**	0.69**	-0.58**	0.65**	0.71**	0.39*	0.70**	وزن-تر رشته (RFW)	
-0.12	-0.10	-0.13	-0.12	-0.09	0.22	-0.14	0.06	-0.52*	-0.56**	-0.43*	-0.51**	-0.28	-0.73**	-0.30	-0.70**	شخص صدمه شورز (SII)	
0.05	0.06	0.07	0.05	0.20	-0.06	0.16	0.11	0.79**	0.91**	-0.82**	-0.82**	0.63**	0.38*	0.87**	سطح برگ (LA)		
0.14	0.07	0.12	0.15	0.15	-0.13	0.18	-0.01	0.84**	0.77**	0.77**	-0.52**	0.55**	0.42*	0.82**	0.16	0.61**	وزن خشک آندام هوایی (SDW)
-0.01	0.03	0.01	0.03	0.02	-0.10	0.01	-0.01	0.62**	0.70**	-0.57**	0.72**	0.45*	0.74**	0.23	0.62**	وزن خشک رشته (RDW)	
0.10	0.52**	-0.13	-0.66**	-0.09	0.10	0.00	-0.16	-0.20	-0.28	0.13	0.04	0.13	-0.29	0.23	-0.03	میزان سلایم آندام هوایی (SNC)	
0.78**	0.31	0.67**	0.74**	0.84**	-0.36*	0.51**	-0.01	0.04	-0.02	0.05	0.20	0.18	-0.02	0.44*	0.22	میزان پلی‌اسیم آندام هوایی (SKC)	
-0.31	-0.77**	-0.84**	-0.25	-0.28	0.63**	0.57**	-0.32	-0.35	-0.37	0.33	0.02	0.02	-0.40*	0.40	-0.09	میزان سلایم رشته (RNC)	
0.32	0.19	0.69**	0.68**	-0.02	0.02	-0.26	-0.05	-0.18	0.00	-0.08	-0.13	-0.16	-0.06	-0.14	-0.09	میزان پلی‌اسیم رشته (RKC)	
0.51**	-0.18	0.52**	0.28	-0.71**	0.35	-0.81**	0.11	0.40*	0.40*	-0.05	0.09	-0.02	0.41**	0.04	0.11	میزان پلی‌اسیم (SKN)	
0.36	0.67**	0.62**	0.50**	-0.93**	-0.60**	-0.65**	0.26	0.27	0.34	-0.33	-0.05	-0.09	0.36	-0.41*	0.06	نسبت جابجا های پلی‌اسیم به سلایم رشته (RKN)	
0.32	0.26	-0.31	-0.22	-0.27	-0.23	0.31	0.16	0.18	0.12	-0.23	0.00	0.02	0.13	-0.16	0.08	نسبت جابجا های پلی‌اسیم از رشته به آندام هوایی (RTSN)	
-0.28	-0.59**	0.15	-0.51**	0.44*	0.85**	0.50**	0.03	0.14	0.00	0.07	0.26	0.25	0.03	0.45*	0.25	نسبت جابجا های پلی‌اسیم به آندام هوایی (RTSK)	

^{ns}, * and ** are non significant, significant at levels: 5%, 1%, respectively

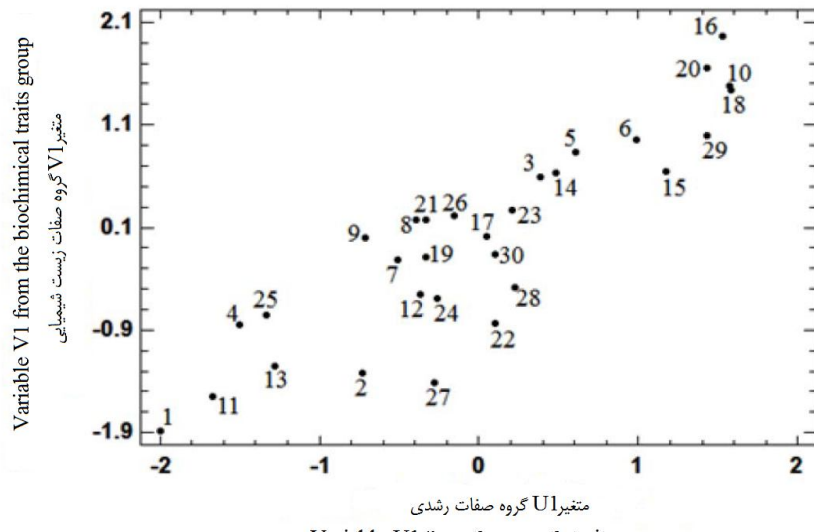
جدول ۳- ضرایب همبستگی کانونیک مجموعه صفات مرتبط با رشد گیاهچه در مقابل مجموعه صفات زیست‌شیمیایی.

Table 3. Canonical correlation coefficients of set of traits related to seedling growth versus biochemical traits.

V1	Traits related to biochemical characteristics	صفات مرتبط به خصوصیات زیست‌شیمیایی	U1	Traits related to plant morphology and growth	صفات مرتبط با ریخت‌شناسی و رشد گیاه
0.000	Chlorophyll content	محتوای کلروفیل	-0.246	Shoot height	ارتفاع اندام هوایی
0.941	salt injury index	شاخص صدمه شوری	-0.416	Shoot fresh weight	وزن‌تر اندام هوایی
0.245	shoots sodium content	میزان سدیم اندام هوایی	0.054	Root length	طول ریشه
-0.087	shoots potassium content	میزان پتاسیم اندام هوایی	0.208	Root fresh weight	وزن‌تر ریشه
0.028	Roots sodium content	میزان سدیم ریشه	-0.852	leaf area	شاخص سطح برگ
0.077	Roots potassium content	میزان پتاسیم ریشه	0.389	Shoot dry weight	وزن خشک اندام هوایی
			-0.021	Root dry weight	وزن خشک‌ریشه
		3.89	Eigenvalue	مقدار ویژه	
		0.89	Canaonical correlation (r)	همبستگی متعارف	
		42	Degree of freedom (GL)	درجه آزادی	
		61.25	X ²	مقدار کای اسکوئر	
		0.7	Cumulative ratio of variance	مقدار تجمعی واریانس	

ژنتیپ ازنظر بیشتر صفات موردبررسی از وضعیت مطلوب‌تری برخوردار می‌باشد و هرچه مقدار SIIG برای ژنتیپ به صفر نزدیک باشد، ژنتیپ مورد بررسی ازنظر بیشتر صفات از وضعیت مطلوبی برخوردار نیست. درواقع شاخص انتخاب ژنتیپ ایده‌آل (SIIG) یک مدل گزینش‌گر بوده و بهمنظور انتخاب ایده‌آل‌ترین ژنتیپ(ها) از بین ژنتیپ‌های موردبررسی به کار می‌رود و با استفاده از این شاخص پژوهش‌گر تصمیم نهایی را در انتخاب بهترین و ضعیفترین ژنتیپ‌ها ازنظر صفات مورد مطالعه می‌گیرد (۳۳ و ۳۴). بر اساس شاخص SIIG ژنتیپ‌های ۱، ۲، ۴، ۲۵، ۱۳ و ۱۱ (به ترتیب Lee, Douglas, Crawford, LYON, Vernal با مقدار SIIG بیشتر جزء ژنتیپ‌های برتر بودند (جدول ۴). از طرفی ژنتیپ‌های شماره ۲۰، ۱۸، ۱۶، Dobradzanka 285، ۱۵، ۱۰ و ۲۹ (به ترتیب Yale, NE3400, Ito san, Perry, Croton 3.9 و ژنتیپ‌های ضعیف ازنظر اکثریت صفات موردبررسی بودند (جدول ۴).

شاخص SIIG در این پژوهش بهمنظور انتخاب بهترین ژنتیپ‌ها با استفاده از تمام صفات موردبررسی در شرایط تنفس از شاخص انتخاب ژنتیپ ایده‌آل (SIIG) استفاده شد. شاخص SIIG بر مبنای ۱۶ صفت (به جز وزن‌تر اندام هوایی) محاسبه شد (جدول ۴). در محاسبه شاخص SIIG فرض بر این بود که ژنتیپ‌هایی با بیشترین ارتفاع اندام هوایی، محتوای کلروفیل، طول ریشه، وزن‌تر ریشه، وزن خشک اندام هوایی و ریشه، شاخص سطح برگ، میزان پتاسیم اندام هوایی و ریشه، نسبت پتاسیم به سدیم اندام هوایی و ریشه و نسبت انتقال پتاسیم از ریشه به اندام هوایی و از طرف دیگر دارای کمترین شاخص صدمه شوری، میزان سدیم اندام هوایی و ریشه و نسبت انتقال سدیم از ریشه به اندام هوایی ایده‌آل می‌باشند. درواقع با استفاده از شاخص SIIG، صفات مذکور ادغام شده و بهصورت یک شاخص واحد در آمده و درنتیجه می‌توان انتخاب ژنتیپ‌های برتر را مطمئن‌تر و دقیق‌تر انجام داد. از آنجایی که میزان تغییرات شاخص SIIG بین صفر و یک تغییر می‌باشد، هرچه مقدار SIIG برای ژنتیپ به یک نزدیک باشد آن



شکل ۱- موقعیت ژنوتیپ‌های موردبررسی در نمودار متغیرهای متعارف اول.

Fig. 1. The position of the examined genotypes in the diagram of the first canonical variables.

SIIG (Dobradzanka 285) با مقدار همچنین وزن‌تر اندام هوایی کمتر از میانگین کل، به عنوان ژنوتیپ‌های ضعیف از نظر وزن‌تر اندام هوایی و شاخص SIIG شناسایی شدند و می‌توان آن‌ها را در گروه ژنوتیپ‌های حساس به شوری به شمار آورد (شکل ۲). در مطالعه‌ای صفات زراعی مختلف کلزا با استفاده از شاخص SIIG ادغام و گزارش شد که شاخص SIIG با ادغام صفات مختلف، انتخاب ژنوتیپ‌های مطلوب را مؤثرتر انجام می‌دهد (۳۵). در پژوهش دیگری نیز از شاخص SIIG به منظور ادغام روش‌های مختلف تجزیه پایداری کلزا استفاده شد و نتیجه‌گیری شد که شاخص SIIG روشی مناسب به منظور ادغام صفات ریخت‌شناسی، فیزیولوژیکی و همچنین سایر روش‌های تجزیه پایداری می‌باشد (۳۶). در مطالعات دیگر نیز از شاخص SIIG به منظور ادغام صفات زراعی یا شاخص‌های محاسبه شده استفاده شده و بیان شد که شاخص SIIG یک روش ترکیبی جدید و کارا در انتخاب مؤثرتر ژنوتیپ‌های مطلوب می‌باشد (۴۹، ۵۰ و ۵۱). شاخص SIIG به منظور انتخاب ارقام و لاین‌های پایدار از نظر آماره‌های مختلف پایداری در گندم دوروم (۳۶) نیز

هرچه صفتی دارای تنوع فنوتیپی بیشتری باشد نقش آن در مقدار عددی شاخص SIIG بیشتر خواهد بود. در صورتی که در پژوهشی تعداد صفات موردبررسی زیاد باشد برای انتخاب ژنوتیپ‌های با عملکرد بالا و صفات مطلوب بهتر است شاخص SIIG بر مبنای همه صفات به جز عملکرد محاسبه شود و درنهایت انتخاب ژنوتیپ‌ها در یک نمودار دو بعدی که یک محور آن شاخص SIIG و محور دیگر آن عملکرد است صورت گیرد (۳۶ و ۴۸). بر این اساس به منظور انتخاب ژنوتیپ‌هایی که هم از نظر شاخص SIIG و هم وزن‌تر اندام هوایی در وضعیت مطلوبی باشند، از نمودار دو بعدی (شکل ۲) استفاده شد. با توجه به نتایج نمودار دو بعدی، ژنوتیپ‌های ۱، ۱۱، ۴، ۲۵ و ۱۳ (به ترتیب Lee, Douglas, LYON, Crawford و ۱۵۰۴) با داشتن مقدار SIIG بالا و همچنین وزن‌تر اندام هوایی بالاتر از میانگین کل، جزء ژنوتیپ‌های برتر از نظر وزن‌تر اندام هوایی و شاخص SIIG بودند و می‌توان آن‌ها را در گروه ژنوتیپ‌های متتحمل به شوری به شمار آورد. از طرفی دیگر ژنوتیپ‌های ۱۶، ۱۸، ۱۰ و ۲۰ (به ترتیب Perry, Tzi - Hua - N4, Croton 3.9, Yale

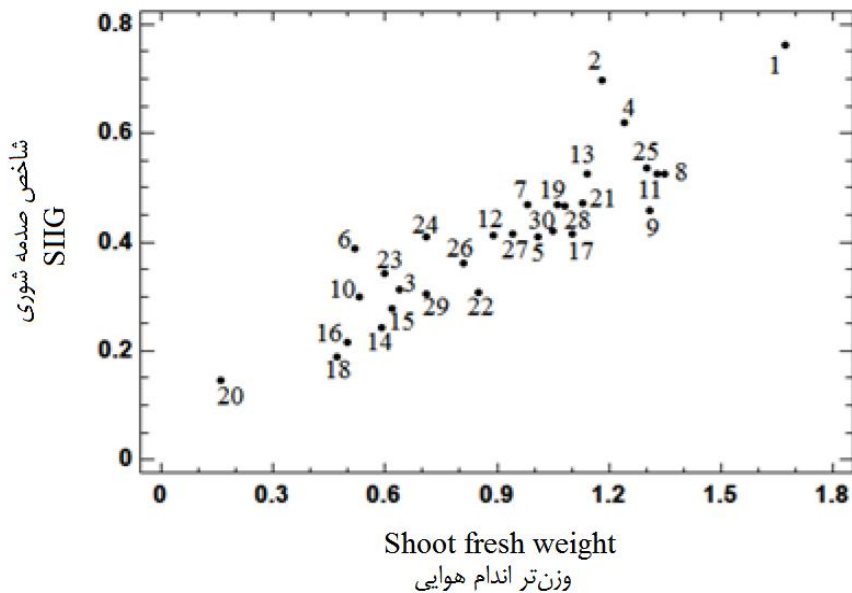
بهوسیله آنها می‌توان ژنوتیپ‌ها را به دو دسته متحمل و حساس تقسیم‌بندی نمود که ژنوتیپ‌های یکسانی در آن دو گروه قرار می‌گیرند. از ویژگی‌های شاخص SIIG، رتبه‌بندی ژنوتیپ‌ها از قوی به ضعیف و تعیین فاصله آنها است (۵۲). پژوهش‌گران مختلفی انطباق نتایج شاخص SIIG با نتایج تجزیه خوش‌ای (۳۷) و (۵۱) و تجزیه به مؤلفه‌های اصلی (۵۲) را گزارش نموده‌اند.

مورداستفاده قرار گرفته است. همچنین در مطالعه‌ای از شاخص SIIG برای دسته‌بندی و انتخاب برترین لاین‌های جو با استفاده از تعدادی از صفات مورفو‌فولوژیک استفاده شد و روش SIIG را در دسته‌بندی و تعیین فاصله بین لاین‌ها مؤثر دانستند (۳۷). اگر به نتایج حاصل از نمودار SIIG و تجزیه کانونیک نگاه کیم متوجه می‌شویم که نتایج آنها مشابهت فراوانی در تفکیک ژنوتیپ‌ها داشته و

جدول ۴- شاخص انتخاب ژنوتیپ ایده‌آل سویا بر مبنای همه صفات مورد مطالعه و فواصل از ژنوتیپ مطلوب (d^+) و ژنوتیپ نامطلوب (d^-).

Table 4. Selection index of the ideal soybean genotype based on all studied traits and distances from the favorable genotype (d^+) and unfavorable genotype (d^-).

شاخص SIIG SIIG index	فاصله از ژنوتیپ نامطلوب d^-	فاصله از ژنوتیپ مطلوب d^+	نام ژنوتیپ Genotypes name	شماره ژنوتیپ Genotype number
0.761	0.645	0.203	Lee	1
0.697	0.604	0.262	Vernal	2
0.312	0.241	0.532	Kosamam	3
0.620	0.484	0.296	LYON	4
0.408	0.313	0.454	Roanoke	5
0.389	0.343	0.540	Cook	6
0.469	0.379	0.428	Colfax	7
0.524	0.404	0.367	Winchester	8
0.459	0.357	0.422	Will	9
0.300	0.236	0.550	Yale	10
0.524	0.455	0.413	Douglas	11
0.411	0.324	0.464	Clifford	12
0.524	0.429	0.389	Crawford	13
0.242	0.190	0.593	Ito san	14
0.277	0.218	0.569	NE3400	15
0.216	0.174	0.633	Perry	16
0.414	0.319	0.452	Strong	17
0.188	0.151	0.653	Croton 3.9	18
0.470	0.351	0.395	Zane	19
0.146	0.119	0.694	Dobradzanka 285	20
0.472	0.379	0.425	L.87-0174	21
0.307	0.252	0.569	Richland	22
0.343	0.261	0.501	Kosar	23
0.409	0.314	0.454	Katool	24
0.535	0.444	0.386	l504	25
0.361	0.289	0.511	Pharaoh	26
0.414	0.339	0.480	Korona B-57-54/41	27
0.467	0.362	0.414	Century 84	28
0.304	0.238	0.546	Tzi - Hua - N4	29
0.421	0.336	0.462	Troll	30



شکل ۲- نمودار دو بعدی پراکنش ۳۰ ژنوتیپ سویا بر اساس وزن تر اندام هوایی و شاخص SIIG
Fig. 2. Distribution of 30 soybean genotypes based on shoot fresh weight and SIIG index.

هر دو گروه ژنوتیپ‌های حساس و متحمل بودیم اما این مقدار کاهش در ژنوتیپ‌های متحمل کمتر از ژنوتیپ‌های حساس بود. در پژوهشی پیشنهاد شده است که رشد اندام هوایی یکی از مشخصه‌های مهم برای غربال گیاهان مقاوم به شوری در مرحله گیاهچه می‌باشد (۵۳). کاهش ارتفاع اندام هوایی و ریشه به واسطه تنفس شوری توسط پژوهش‌گران زیادی در محصولات مختلف گزارش شده است از جمله در سویا (۵۴ و ۵۵). مطالعات دیگری نیز کاهش در وزن خشک برگ‌ها را به واسطه تنفس شوری مشاهده نمودند (۵۳ و ۵۶). توسعه سلولی برگ‌ها در تنفس شوری کاهش یافته که این به دلیل پایین آمدن فشار پرتوپلاسم بوده و درنتیجه سطح برگ کاهش می‌یابد. کاهش وزن خشک ساقه به واسطه تنفس شوری توسط پژوهش‌گران زیادی در محصولات مختلف گزارش شده است از جمله در سویا (۵۴). شوری همچنین باعث کاهش توده ریشه می‌شود. شوری باعث کاهش تعداد برگ، سطح برگ و وزن خشک برگ‌ها می‌شود

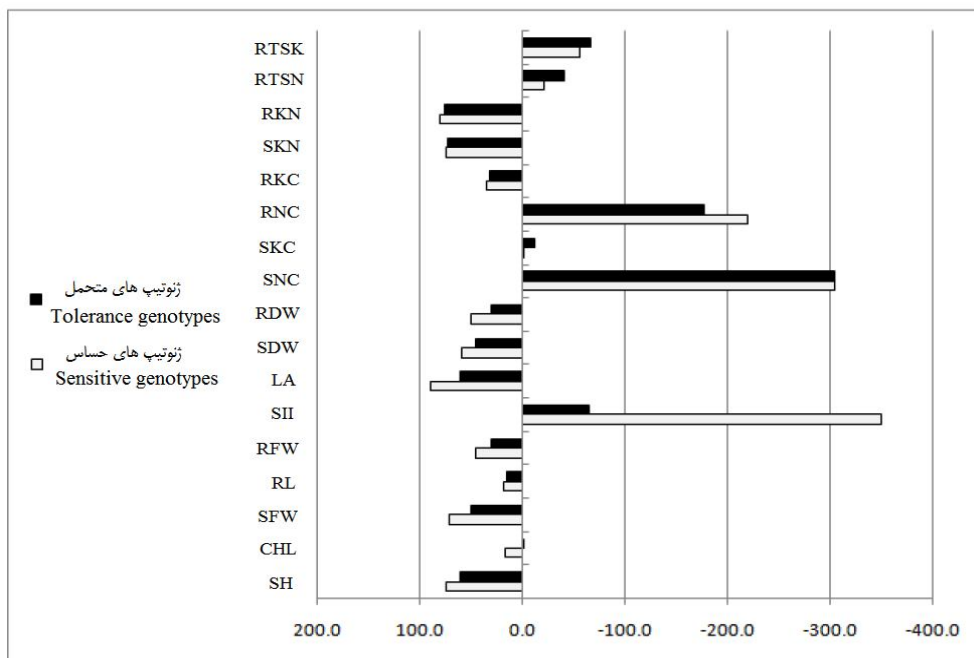
به منظور درک تفاوت دو گروه متحمل و حساس به شوری شناسایی شده توسط تجزیه همبستگی‌های کانونیک و شاخص SIIG، تفاوت صفات اندازه‌گیری شده در شرایط تنفس نسبت به شرایط نرمال در دو گروه برحسب درصد با یکدیگر مقایسه شد که در شکل ۳ آورده شده است. گروه متحمل شامل ژنوتیپ‌های شماره ۱، ۱۱، ۴، ۲۵ و ۱۳ (به ترتیب Crawford, LYON, Douglas, Lee 1504 و ۱۸، ۱۰، ۱۶، ۲۹ و ۲۰ (به ترتیب Croton 3.9, Perry, Yale, Dobradzanka 285 - Tzi - Hua - N4) بود و گروه حساس شامل ژنوتیپ‌های ۱۶، ۱۸، ۱۰، ۱۶، ۲۹ (به ترتیب Croton 3.9, Perry, Yale, Dobradzanka 285 - Tzi - Hua - N4) بود. همان‌طور که در شکل ۳ مشاهده می‌شود به جز صفت محتوای کلروفیل در بقیه صفات واکنش ژنوتیپ‌های متحمل و حساس یکسان بوده است. در صفات ارتفاع اندام هوایی، وزن تر و خشک اندام هوایی و ریشه، طول ریشه، سطح برگ، محتوای پتاسیم در ریشه، نسبت پتاسیم به سدیم در اندام هوایی و ریشه شاهد کاهش مقدار صفت در شرایط تنفس نسبت به نرمال در

باشند. گزارش شده است که تحت تنش شوری میزان یون سدیم در ساقه و برگ افزایش یافته است و در ژنوتیپ‌های حساس‌تر این افزایش بیش‌تر بوده است که این مطلب در سویا (۶۴) نیز گزارش شده است (۶۳ و ۶۵). همچنین گزارش شده است که یون سدیم تحت تنش شوری در ریشه افزایش نشان می‌دهد (۵۸). همچنین مقدار افزایش صفات محتوای پتاسیم اندام هوایی، نسبت جایه‌جایی سدیم و پتاسیم از ریشه به اندام هوایی در ژنوتیپ‌های متتحمل بیش‌تر از ژنوتیپ‌های حساس بود. در صفت محتوای کلروفیل ژنوتیپ‌های متتحمل در شرایط تنش نسبت به نرمال محتوای کلروفیل بیش‌تری داشتند ولی در ژنوتیپ‌های گروه حساس شاهد کاهش محتوای کلروفیل بودیم. پژوهش‌گران دیگری نیز افزایش کلروفیل را گزارش کرده‌اند (۴۵). تحقیقات روی سویا بیانگر تأثیرپذیری محتوای کلروفیل این گیاه از تنش شوری است و ارقام متتحمل سویا در سطوح بالای شوری دارای سطوح بیش‌تری از کلروفیل در مقایسه با ارقام حساس می‌باشند (۶۶).

همان‌طور که مشاهده می‌شود صفات محتوای کلروفیل، طول ریشه و محتوای پتاسیم اندام هوایی کم‌ترین تأثیر را از شوری داشتند و صفات شاخص صدمه شوری، میزان سدیم اندام هوایی، میزان سدیم ریشه و شاخص سطح برگ بیش‌ترین تأثیر را از شوری داشتند. این نتایج با نتایج پژوهش‌گران دیگر مشابه‌تر زیادی داشت (۶۷).

که درنتیجه این موارد شاهد کاهش عملکرد خواهیم بود (۵۷). گزارش شده است که تحت تنش شوری یون پتاسیم در ریشه کاهش نشان می‌دهد (۵۸). همچنین گزارش شده است که اندام هوایی ارقام متتحمل به شوری دارای نسبت سدیم به پتاسیم پایین‌تری نسبت به ارقام حساس می‌باشد (۵۹). همان‌طور که مشاهده می‌شود طول ریشه‌ها نسبت به ارتفاع اندام هوایی کاهش کم‌تری را هم در ژنوتیپ‌های حساس و هم متتحمل نشان می‌دهد. در مورد سویا مشاهده شده که تغییرات اندام هوایی نسبت به شوری در مقایسه با ریشه‌ها بیش‌تر است و به نظر می‌رسد ریشه‌ها به شوری تحمل بیش‌تری نشان می‌دهند (۶۰).

از طرف دیگر در صفات شاخص صدمه شوری، محتوای سدیم اندام هوایی و ریشه، محتوای پتاسیم اندام هوایی، نسبت جایه‌جایی سدیم از ریشه به اندام هوایی و نسبت جایه‌جایی پتاسیم از ریشه به اندام هوایی شاهد افزایش مقدار صفت در شرایط تنش نسبت به نرمال در هر دو گروه ژنوتیپ‌های حساس و متتحمل بودیم. مقدار افزایش صفات شاخص صدمه شوری، محتوای سدیم در اندام هوایی و ریشه در ژنوتیپ‌های حساس بیش‌تر از ژنوتیپ‌های متتحمل بود. اثرات مضر شوری بر روی سلامت برگ‌ها توسط پژوهش‌گران زیادی ازجمله در سویا گزارش شده است (۱۱). اثرات تنش اسمزی (۱۱) و یا اثرات سمیت یون‌ها (۶۲) می‌توانند مسئول صدمات شوری



شکل ۳- تفاوت صفات اندازه‌گیری شده دو گروه متحمل و حساس به شوری شناسایی شده توسط تجزیه همبستگی‌های کانونیک SIIG و شاخص

Fig. 3. The difference between the measured traits of the two groups tolerant and sensitive to salinity identified by canonical correlation analysis and SIIG index.

SIIG: ارتفاع اندام هوایی، CHL: محتوای کلروفیل، SFW: وزن تر اندام هوایی، RL: طول ریشه، SII: شاخص صدمه شوری، LA: سطح برگ، SDW: وزن خشک اندام هوایی، RDW: وزن خشک ریشه، SNC: میزان سدیم اندام هوایی، SKC: میزان پتانسیم اندام هوایی، RNC: میزان سدیم ریشه، RFW: میزان پتانسیم ریشه، SKN: نسبت پتانسیم به سدیم اندام هوایی، RKN: نسبت پتانسیم به سدیم ریشه، RTSN: نسبت جابجایی سدیم از ریشه به اندام هوایی، RTSK: نسبت جابجایی پتانسیم از ریشه به اندام هوایی

همراه هستند و این ژنوتیپ‌ها جز ژنوتیپ‌های متحمل به شوری به شمار می‌آیند. نتایج نشان داد که هم ژنوتیپ و هم محیط، همراه با برهمکنش‌هایشان، به طور معنی‌داری بر صفاتی مانند وزن تر اندام هوایی سویا تأثیر می‌گذارند، که نشان می‌دهد واکنش‌های گیاه چنان‌وجهی است و می‌تواند تحت تأثیر نیروهای مختلف باشد. این مطالعه با شناسایی ژنوتیپ‌هایی که متحمل به شوری می‌باشند، شاخص‌های انتخاب بالقوه برای اصلاح محصولات متحمل به شوری را که نیازی حیاتی در مواجهه با تغییرات محیطی جهانی است، شناسایی نمود. استفاده از ابزارهای آماری پیچیده مانند تجزیه و تحلیل همبستگی متعارف و شاخص انتخاب ژنوتیپ ایده‌آل (SIIG) درک ما را از

نتیجه‌گیری

هدف از مطالعه حاضر کمک به اصلاح گران سویا برای درک بهتر وابستگی خطی بین صفات مرتبط با رشد گیاهچه و صفات زیست‌شیمیایی مرحله گیاهچه‌ای سویا برای تحمل به تنش شوری بود، زیرا مطالعات کافی در این زمینه تحقیقاتی وجود ندارد. تجزیه و تحلیل همبستگی متعارف استنباط کارآمدتری در مورد روابط بین صفات مرتبط با رشد گیاهچه و صفات زیست‌شیمیایی گیاهچه‌های سویا ارائه داد و نشان داد که این صفات مستقل نیستند. در شرایط شوری گیاهچه‌های بلندتر، با سطح برگ بیشتر و وزن تر اندام هوایی بیشتر اغلب با شاخص صدمه شوری کمتر و میزان سدیم کمتری در اندام هوایی

طریق به انتخاب ژنوتیپ‌های برتر که قادر به حفظ عملکرد و کیفیت در شرایط تنفس هستند کمک می‌کند. با نگاهی به آینده، این یافته‌ها می‌توانند نقشی اساسی در هدایت مسیرهای تحقیقاتی آینده باهدف افزایش تحمل به شوری در گیاهان داشته باشند.

تشکر و قدردانی

این پژوهش بر اساس نتایج حاصل از اجرای پروژه مصوب به شماره ۹۵۱۴۸-۰۳-۰۳-۲۰۳ مؤسسه تحقیقات اصلاح و تهیه نهال و بذر است. بدین‌وسیله از مؤسسه اصلاح و تهیه نهال و بذر به خاطر تأمین هزینه‌های اجرای این پروژه صمیمانه تشکر و قدردانی می‌گردد.

روابط بین صفات ریخت‌شناسی و زیست‌شیمیایی افزایش داده است و امکان انتخاب دقیق‌تر و مؤثرتر ژنوتیپ‌های برتر را فراهم می‌کند. مطابقت یافته‌های SIIG با نتایج حاصل از سایر روش‌های تحلیلی، مانند آنالیز همبستگی متعارف و تجزیه خوش‌های، اعتبار بیشتری به کاربرد آن به عنوان یک ابزار دقیق و قابل اعتماد در انتخاب ژنوتیپ می‌دهد. توافق نسبی میان روش‌های ارزیابی مختلف در مورد تحمل به شوری و صفات مرتبط، راه را برای اتخاذ تدبیر اصلاحی هدفمندتر هموار می‌کند. این پژوهش با تمایز بین ژنوتیپ‌های متحمل به شوری و حساس به شوری، به روشن شدن صفات متأثر از شوری مانند ویژگی‌های رشد و محتوای یون کمک کرد و از این

منابع

- 1.Munns, R., & Tester, M. (2008). Mechanisms of salinity tolerance. *The Annual Review of Plant Biology* Annu. Rev. Plant Biol. 59 (1), 651-681.
- 2.McWilliams, D. A., Berglund, D. R., & Endres, G. J. (1999). Soybean growth and management quick guide. North Dakota State University. University of Minnesota.
- 3.Food and Agriculture Data FAOSTAT. (2015). Food and Agriculture Organization of the United Nations (FAO). <http://www.fao.org/FAO&IPTS>.
- 4.Pasternak, D. (1987). Salt tolerance and crop production-a comprehensive approach. *Annual review of phytopathology*, 25 (1), 271-291.
- 5.Wang, D., & Shannon, M. C. (1999). Emergence and seedling growth of soybean cultivars and maturity groups under salinity. *Plant and soil*, 214, 117-124.
- 6.Sun, Y., Mu, C., Zheng, H., Lu, S., Zhang, H., Zhang, X., & Liu, X. (2018). Exogenous Pi supplementation improved the salt tolerance of maize (*Zea mays* L.) by promoting Na⁺ exclusion. *Scientific reports*, 8 (1), 16203.
- 7.Singleton, P. W., & Bohlool, B. B. (1984). Effect of salinity on nodule formation by soybean. *Plant Physiology*, 74 (1), 72-76.
- 8.Gupta, B., & Huang, B. (2014). Mechanism of salinity tolerance in plants: physiological, biochemical, and molecular characterization. *International journal of genomics*, 2014 (1), 701596.
- 9.Abbasdokht, H. (2011). The effect of hydropriming and halopriming on germination and early growth stage of wheat (*Triticum aestivum* L.). *Desert*, 16 (1): 61-68.
- 10.White, P. J., & Broadley, M. R. (2001). Chloride in soils and its uptake and movement within the plant: a review. *Annals of botany*, 88 (6), 967-988.
- 11.Lee, G. J., Boerma, H. R., Villagarcia, M. R., Zhou, X., Carter, T. E., Li, Z., & Gibbs, M. (2004). A major QTL conditioning salt tolerance in S-100 soybean and descendent cultivars. *Theoretical and Applied Genetics*, 109, 1610-1619.
- 12.Hosseini, M. K., Powell, A. A., & Bingham, I. J. (2002). Comparison of

- the seed germination and early seedling growth of soybean in saline conditions. *Seed Science Research*, 12 (3), 165-172.
13. Ashraf, M., McNeilly, T., & Bradshaw, A. D. (1986). The potential for evolution of salt (NaCl) tolerance in seven grass species. *New Phytologist*, 103 (2), 299-309.
14. Do, T. D., Chen, H., Hien, V. T. T., Hamwieh, A., Yamada, T., Sato, T., ... & Xu, D. (2016). Ncl synchronously regulates Na⁺, K⁺ and Cl⁻ in soybean and greatly increases the grain yield in saline field conditions. *Scientific Reports*, 6 (1), 19147.
15. Pavli, O. I., Foti, C., Skoufogianni, G., Karastergiou, G., Panagou, A., & Khah, E. M. (2021). Effect of salinity on seed germination and seedling development of soybean genotypes. *International Journal of Environmental Sciences & Natural Resources*, 27 (2): 1-9.
16. Fooland, M. R., & Jones, R. A. (1991). Genetic analysis of salt tolerance during germination in *Lycopersicon*. *Theoretical and Applied Genetics*, 81, 321-326.
17. Guffy, R. D., Hesketh, J. D., Nelson, R. L., & Bernard, R. L. (1991). Seed growth rate, growth duration, and yield in soybean. *Biotronics*, 20, 19-30.
18. Ebene, L. A., Caverzan, A., Tagliari, A., Chiomento, J. L. T., Silveira, D. C., & Chavarria, G. (2020). Soybean seed vigor: Uniformity and growth as key factors to improve yield. *Agronomy*, 10 (4), 545.
19. Allen, S. G., Dobrenz, A. K., & Bartels, P. G. (1986). Physiological Response of Salt-Tolerant and Nontolerant Alfalfa to Salinity during Germination 1. *Crop Science*, 26 (5), 1004-1008.
20. Hussain, T., Iqbal, A., Amir, I., & Swati, Z. A. (2013). Chlorophyll-based screening for salinity tolerance in wheat genotypes. *Journal of Agricultural and Biological Science*, 8 (8), 596-598.
21. Valencia, R., Chen, P., Ishibashi, T., & Conatser, M. (2008). A rapid and effective method for screening salt tolerance in soybean. *Crop science*, 48 (5), 1773-1779.
22. Lee, J. D., Smothers, S. L., Dunn, D., Villagarcia, M., Shumway, C. R., Carter Jr, T. E., & Shannon, J. G. (2008). Evaluation of a simple method to screen soybean genotypes for salt tolerance. *Crop science*, 48 (6), 2194-2200.
23. Witten, D. M., & Tibshirani, R. J. (2009). Extensions of sparse canonical correlation analysis with applications to genomic data. *Statistical applications in genetics and molecular biology*, 8 (1), 1-27.
24. Trugilho, P. F., Lima, J. T., & Mori, F. A. (2003). Canonical correlation of physical and chemical characteristics of the wood of *Eucalyptus grandis* and *Eucalyptus saligna* clones. *Cerne*, 9 (1), 081-091.
25. Cruz, C. D., Regazzi, A. J., & Carneiro, P. C. S. (2012). Modelos biométricos aplicados ao melhoramento genético vegetal. Viçosa: Editora da UFV.
26. da Silva, J. W., Soares, L., Ferreira, P. V., da Silva, P. P., & daSilva, M. J. C. (2007). Correlações canônicas de características agroindustriais em cana-de-açúcar. *Acta Scientiarum. Agronomy*, 29 (3), 345-349.
27. Johnson, R. A., & Wichern, D. W. (2002). Applied multivariate statistical analysis. 5th ed. Prentice Hall, Upper Saddle River, NJ.
28. Khatri, R., & Naik, D. N. (2000). Multivariate data reduction and discrimination. *SAS Institute, Cary, North Carolina*.
29. Thompson, B. (1991). A primer on the logic and use of canonical correlation analysis. *Measurement and evaluation in counseling and development*, 24, 80-95.
30. Santos, C. A. F., Cavalcanti, J., Paimi, J. N., & Cruz, C. D. (1994). Canonical correlations between primary and secondary components in the grains yield of pigeonpea (*Cajanus cajan* (L.) Millsp.). *Revista Ceres* (Brazil), 41 (236), 469-464.
31. Pereira, E. M., Silva, F. M., Val, B. H. P., Neto, A. P., Mauro, A. O., Martins, C. C., & Unêda-Trevisoli, S. H.

- (2017). Canonical correlations between agronomic traits and seed physiological quality in segregating soybean populations. *Genetics and molecular research*, 16 (2).
32. Carvalho, I. R. (2021). Interrelations of climatological and physiological attributes and components of soybean seeds yield. *Revista Brasileira de Agropecuária Sustentável*, 11 (1), 173-184.
33. Zali, H., Sofalian, O., Hasanloo, T., Asgharii, A., & Hoseini, S. M. (2015). Appraising of drought tolerance relying on stability analysis indices in canola genotypes simultaneously, using selection index of ideal genotype (SIIG) technique: Introduction of new method. *In Biological Forum*, 7 (2), 703-711.
34. Zali, H., Hassanloo, T., Sofalian, O., Asghari, A., & Zeinalabedini, M. (2017). Appropriate strategies for selection of drought tolerant genotypes in canola. *Journal of Crop Breeding*, 8 (20), 90-77.
35. Abdollahi, H. A., Sofalian, O., Alizadeh, B., Asghari, A., & Zali, H. (2020). Evaluation of Some Autumn Canola Genotypes Based on Agronomy Traits and SIIG Index. *Journal of Crop Breeding*, 12, 151-159.
36. Najafi, M. T., Dastfal, M., Andarzian, B., Farzadi, H., Bahari, M., & Zali, H. (2018). Assessment of non-parametric methods in selection of stable genotypes of durum wheat (*Triticum turgidum* L. var. durum). *Iranian Journal of Crop Sciences*, 20, 126-138.
37. Zali, H., & Barati, A. (2020). Evaluation of selection index of ideal genotype (SIIG) in other to selection of barley promising lines with high yield and desirable agronomy traits. *Journal of Crop Breeding*, 12 (34), 93-104.
38. Yoon, K. P., & Hwang, C. L. (1995). Multiple attribute decision making: an introduction. *Sage publications*, 350 p.
39. Mirzaei, M. R., & Hemayati, S. S. (2022). The effect of environment and maternal plant on germination traits of sugar beet seeds and an approach to select the superior genotype. *Agricultural Research*, 11 (4), 608-614.
40. Hoagland, D. R., & Arnon, D. I. (1950). The water-culture method for growing plants without soil. Circular. *California agricultural experiment station*, 347 (2nd edit).
41. Khan, M. S. A., Karim, M. A., Haque, M. M., Karim, A. J. M. S., & Mian, M. A. K. (2012). Screening of soybean genotypes for salt tolerance in hydroponics. In *conference on 'Advances in agronomic research under changing environment in Bangladesh' held on October* (Vol. 6, p. 2012).
42. Hamwieh, A., & Xu, D. (2008). Conserved salt tolerance quantitative trait locus (QTL) in wild and cultivated soybeans. *Breeding Science*, 58 (4), 355-359.
43. Zali, H., Barati, A., Pour-Aboughadareh, A., Gholipour, A., Koohkan, S., Marzoghiyan, A., ... & Nowosad, K. (2023). Identification of superior barley genotypes using selection index of ideal genotype (SIIG). *Plants*, 12 (9), 1843.
44. Genc, Y., Oldach, K., Verbyla, A. P., Lott, G., Hassan, M., Tester, M., ... & McDonald, G. K. (2010). Sodium exclusion QTL associated with improved seedling growth in bread wheat under salinity stress. *Theoretical and Applied Genetics*, 121, 877-894.
45. Xu, Y. F., An, D. G., Liu, D. C., Zhang, A. M., Xu, H. X., & Li, B. (2012). Mapping QTLs with epistatic effects and QTL × treatment interactions for salt tolerance at seedling stage of wheat. *Euphytica*, 186, 233-245.
46. Protásio, T. D. P., Guimarães Neto, R. M., Santana, J. D. D. P. D., Guimarães Júnior, J. B., & Trugilho, P. F. (2014). Canonical correlation analysis of the characteristics of charcoal from Qualea parviflora Mart. *Cerne*, 20, 81-88.
47. Alves, B. M., Cargnelutti Filho, A., Burin, C., & Toebe, M. (2017). Linear associations among phenological, morphological, productive, and energetic-nutritional traits in corn.

- Pesquisa Agropecuária Brasileira*, 52 (1), 26-35.
48. Tahmasebi, S., Dastfal, M., Zali, H., & Rajaie, M. (2018). Drought tolerance evaluation of bread wheat cultivars and promising lines in warm and dry climate of the south. *Cereal Research*, 8 (2), 209-225.
49. Gholizadeh, A., Ghaffari, M., & Shariati, F. (2021). Use of selection index of ideal genotype (SIIG) in order to select new high yielding sunflower hybrids with desirable agronomic characteristics. *Journal of Crop Breeding*, 13 (38), 116-123.
50. Haghigatnia, H. A. S. A. N., & Alhani, F. A. R. H. A. D. (2020). Evaluation of irrigation water salinity tolerance indices in new cultivars and lines of safflower. *Iranian Journal of Soil and Water Research*, 51 (7), 1181-1821.
51. Emami, S., Asghari, A., Mohammaddoust Chamanabad, H., Rasoulzadeh, A., & Ramzi, E. (2019). Evaluation of osmotic stress tolerance in durum wheat (*Triticum durum* L.) advanced lines. *Environmental Stresses in Crop Sciences*, 12 (3), 697-707.
52. Shirzad, A., Asghari, A., Zali, H., Sofalian, O., & Mohammaddoust Chamanabad, H. R. (2022). Selection of Barley Superior Lines with Desirable Agronomic Characteristics Using the Selection Index of Ideal Genotype (SIIG). *Isfahan University of Technology-Journal of Crop Production and Processing*, 12 (1), 97-117.
53. Karim, M. A., Utsunomiya, N., & Shigenaga, S. (1992). Effect of sodium chloride on germination and growth of hexaploid triticale at early seedling stage. *Japanese Journal of Crop Science*, 61 (2), 279-284.
54. Anitha, T., & Usha, R. (2012). Effect of salinity stress on physiological, biochemical and antioxidant defense systems of high yielding cultivars of soyabean. *International Journal of Pharma and Bio Sciences*, 3 (4), 851-864.
55. Putri, P. H., Susanto, G. W. A., & Artari, R. (2017). Response of soybean genotypes to salinity in germination stage. *Nusantara Bioscience*, 9 (2), 133-137.
56. Ohashi, Y., Saneoka, H., & Fujita, K. (2000). Effect of water stress on growth, photosynthesis, and photoassimilate translocation in soybean and tropical pasture legume siratro. *Soil Science and Plant Nutrition*, 46 (2), 417-425.
57. Sharifi, M., Ghorbanli, M., & Ebrahimzadeh, H. (2007). Improved growth of salinity-stressed soybean after inoculation with salt pre-treated mycorrhizal fungi. *Journal of plant physiology*, 164 (9), 1144-1151.
58. Islam, M. S. (2001). Morpho-physiology of blackgram and mungbean as influenced by salinity. An MS thesis. Dept. of Agronomy, BSMRAU, Salna, Gazipur, Bangladesh. 87 p.
59. Pandey, U. K., & Sharma, A. P. (2002). Effect of salinity on potassium, calcium and magnesium content in rice varieties. *Indian Journal of Plant Physiology*, 73 (3), 302-304.
60. Essa, T. A. (2002). Effect of salinity stress on growth and nutrient composition of three soybean (*Glycine max* L. Merrill) cultivars. *Journal of Agronomy and Crop science*, 188 (2), 86-93.
61. Kumar, A., & Sharma, B. K. (1990). Specific ion effect on germination and seedling growth of wild canary grass (*Phalaris minor* (L.) Retz). *Advances in plant sciences*, 3, 321-325.
62. Cramer, G. R., Alberico, G. J., & Schmidt, C. (1994). Leaf expansion limits dry matter accumulation of salt-stressed maize. *Functional Plant Biology*, 21 (5), 663-674.
63. Alam, S. M., Ansari, R., Mujtaba, S. M., & Shereen, A. (2001). Salinization of millions of hectares of land continues to reduce crop productivity severely worldwide. *Saline Lands and Rice: Industry & Economy. Pakistan Economist*, 17, 60-71.

64. Läuchli, A., & Wieneke, J. (1979). Studies on growth and distribution of Na⁺, K⁺ and Cl⁻ in soybean varieties differing in salt tolerance. *Zeitschrift für Pflanzenernährung und Bodenkunde*, 142 (1), 3-13.
65. Ferdous, J., Mannan, M. A., Haque, M. M., Mamun, M. A., & Alam, M. S. (2018). Chlorophyll content, water relation traits and mineral ions accumulation in soybean as influenced by organic amendments under salinity stress. *Australian Journal of Crop Science*, 12 (12), 1806-1812.
66. Kao, W. Y., Tsai, T. T., Tsai, H. C., & Shih, C. N. (2006). Response of three Glycine species to salt stress. *Environmental and Experimental Botany*, 56 (1), 120-125.
67. Khan, M. S. A., Karim, M. A., Haque, M. M., Karim, A. J. M. S., & Mian, M. A. K. (2012). Screening of soybean genotypes for salt tolerance in hydroponics. *Bangladesh Agronomy Journal*, 16 (1), 95-104.

